

brýlové čočky



Drobnosti z historie



středověký čtecí kámen

- „zvětšení pomocí skla naplněného vodou“ písemně zmíněno r. 100 (AD)
- čtecí kameny (čisté sklo ve tvaru oblázků) v 9. století
- v Evropě brýle od cca 13. století, nejprve spojné čočky
- od cca 16. století také rozptylky pro myopy
- „skrářňové brýle“ (s ručkami) až od začátku 18. století



1690: brýle Norimberského stylu se zelenými čočkami



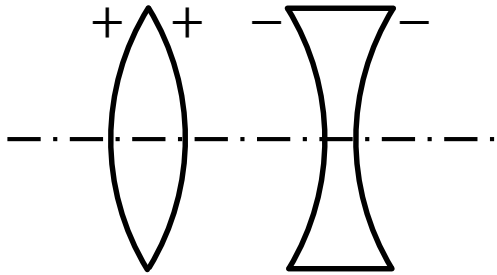
1780: stříbrné brýle



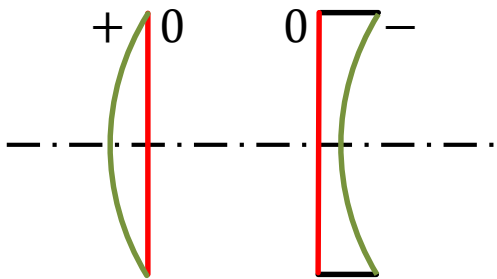
konec 18. století: mosazné obruby, kruhové čočky

Tvar čočky

$$\varphi'_1 = \frac{n_B - 1}{r_1} > 0 \quad \varphi'_2 = \frac{1 - n_B}{r_2} < 0$$

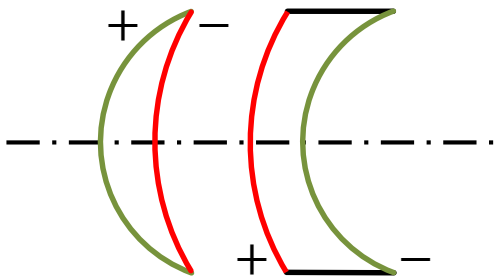


bikonvexní, bikonkávní čočka
(nepříznivý průběh optických vad)



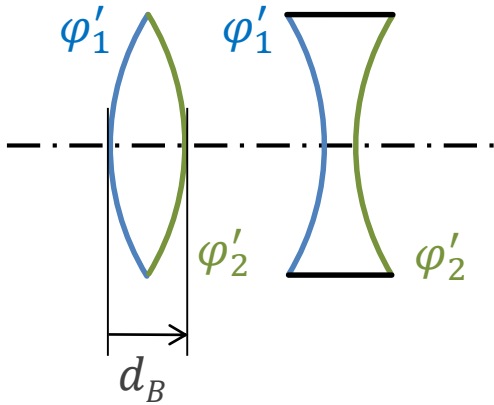
plankonvexní, plankonkávní čočka

- červeně vyznačeny základní plochy
- zeleně doplňkové plochy



periskopická čočka (základní plocha, báze $\pm 1,25$ D)
menisková (polomušlová) čočka (± 6 D, příp. ± 3 D)
mušlová čočka (± 8 D)

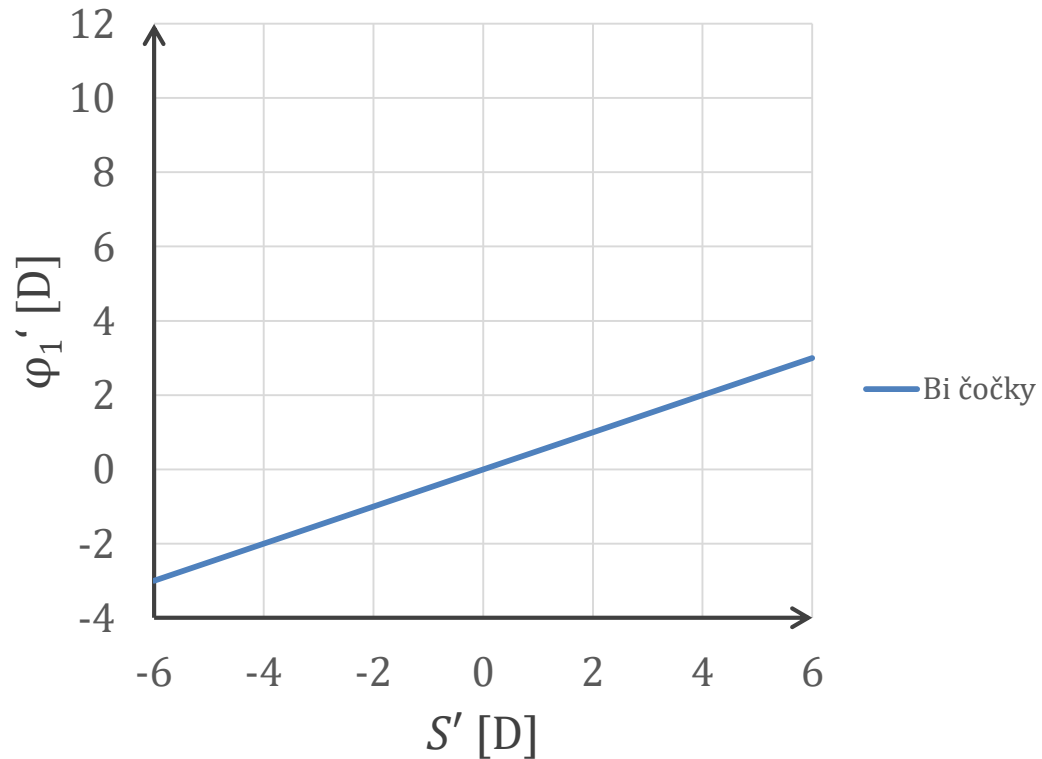
Aproximace tenké čočky



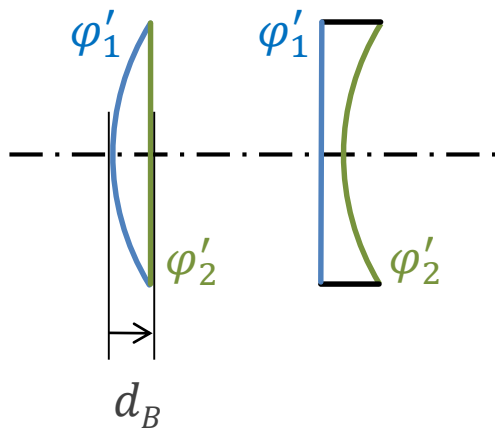
bikonvexní, bikonkávní čočka

$$d_B \rightarrow 0$$

$$S' \approx \varphi'_c \approx \varphi'_1 + \varphi'_2 = 2\varphi'_1$$



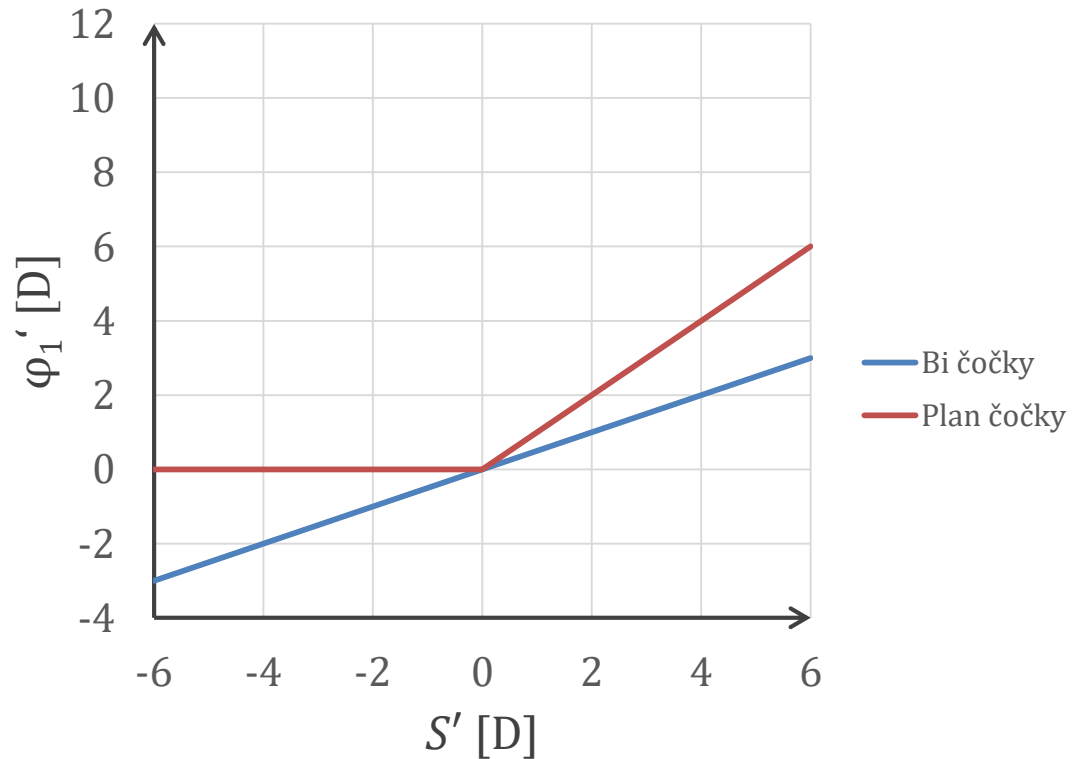
Aproximace tenké čočky



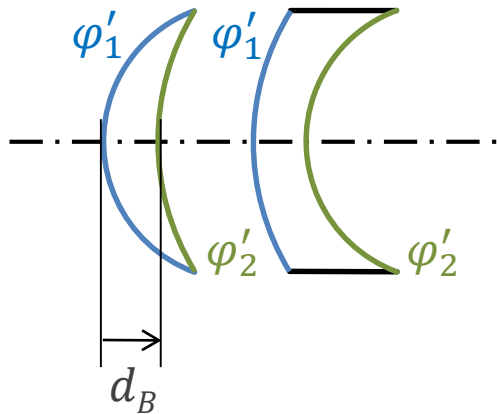
plankonvexní, plankonkávní čočka

$$d_B \rightarrow 0$$

$$S' \approx \varphi'_c \approx \begin{cases} \varphi'_1 & \text{(spojka)} \\ \varphi'_2 & \text{(rozptylka)} \end{cases}$$



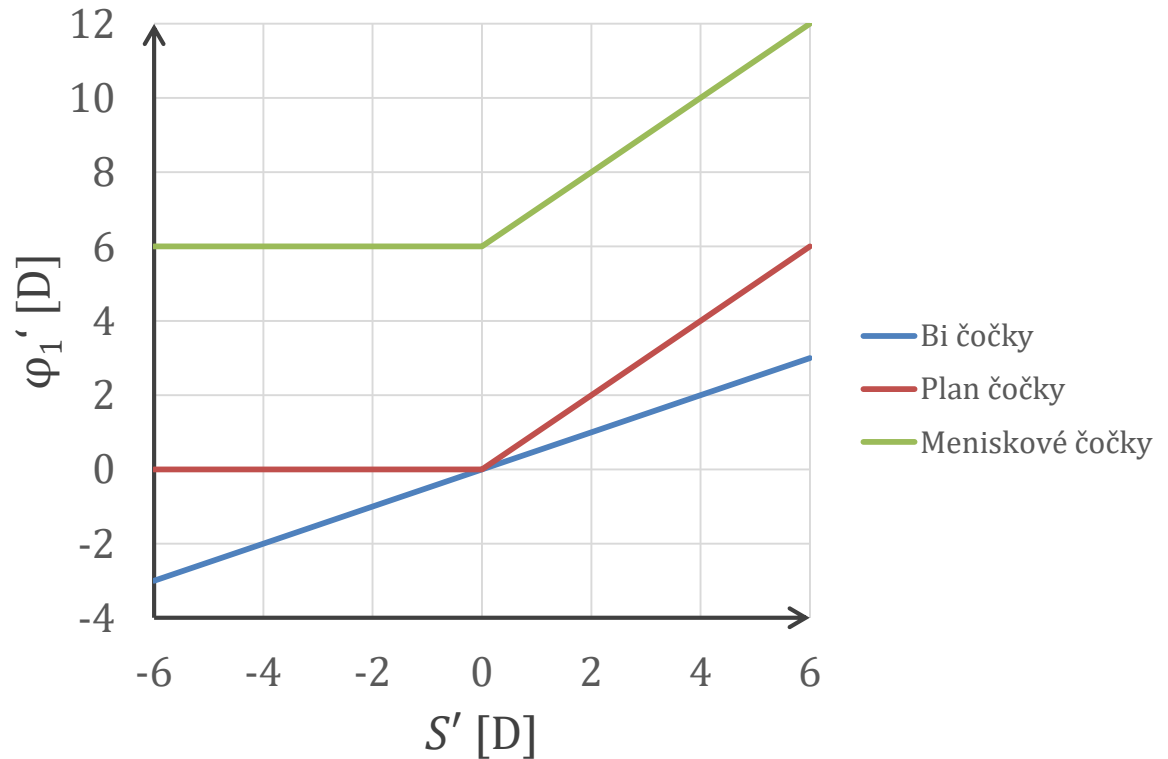
Aproximace tenké čočky



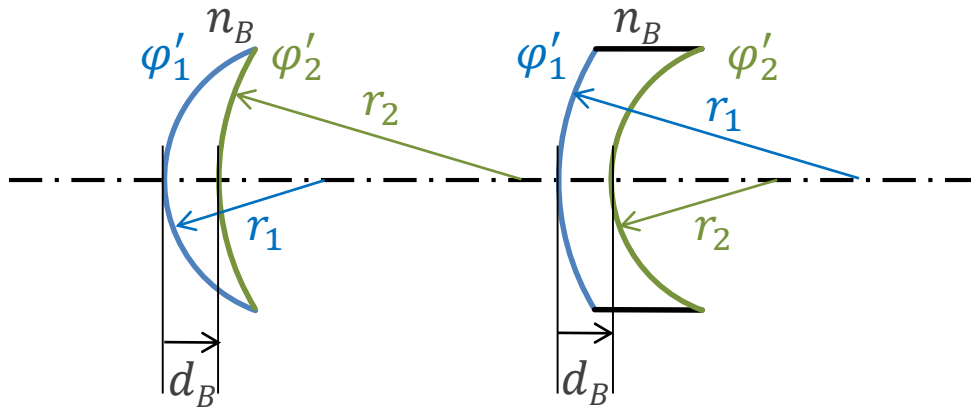
menisková (polomušlová) čočka ($\pm 6 D$)

$$d_B \rightarrow 0$$

$$S' \approx \varphi'_c \approx \begin{cases} \varphi'_1 - 6 D & \text{(spojka)} \\ 6 D + \varphi'_2 & \text{(rozptylka)} \end{cases}$$



Přesné výpočty



$$\varphi'_1 = \frac{n_B - 1}{r_1} > 0$$

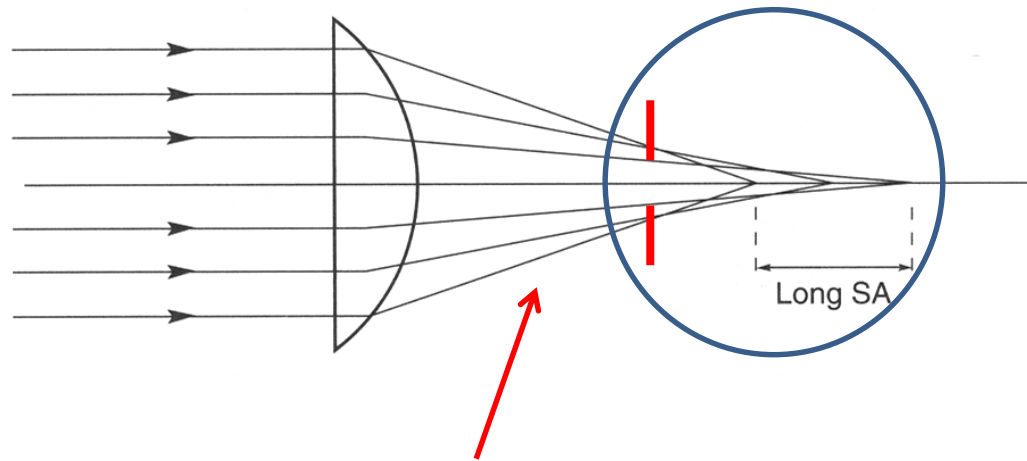
$$\varphi'_2 = \frac{1 - n_B}{r_2} < 0$$

$$\delta = \frac{d_B}{n_B}$$

vrcholová lámavost brýlové čočky:

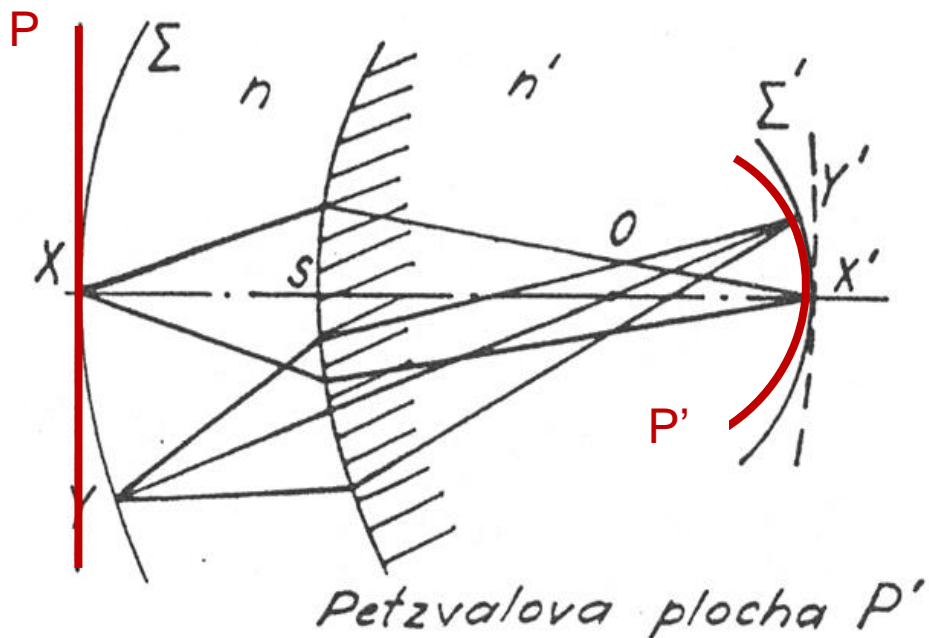
$$S' = \Gamma' \varphi'_c = \frac{\varphi'_1}{1 - \delta \varphi'_1} + \varphi'_2 = \varphi'_{1tč} + \varphi'_2$$

Vady brýlové čočky



- **Otvorová vada a koma** se projevují málo, protože svazek je omezen relativně malou pupilou oka – zornicí.
- **Barevná vada** může být omezena vhodným výběrem materiálu čočky.
- **Periferní astigmatismus a sklenutí pole** jsou **podstatné**, jejich správná korekce zaručuje bodové zobrazování.

Petzvalovo sklenutí pole



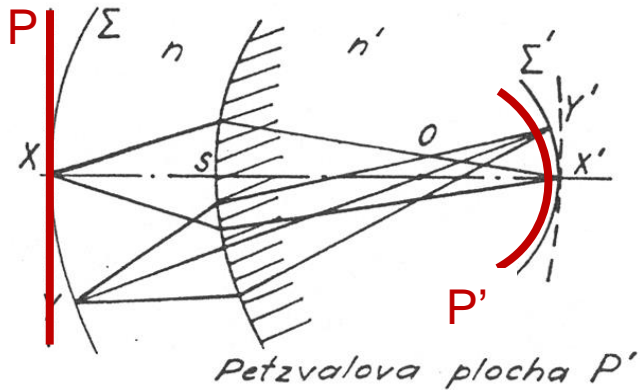
London
1854

Joseph Petzval

1807 - 1891

- Při sklenutí pole jsou body rovinné předmětové plochy P ostře zobrazeny na sférickou (kulovou) plochu P', což je tzv. **Petzvalova plocha**.

Poloměr Petzvalovy plochyole



jedna lámavá plocha: tenká čočka:

$$R_P = \frac{nr}{n - n'}$$

$$R_P = -nf'$$

Petzvalova suma pro
soustavu tenkých čoček:

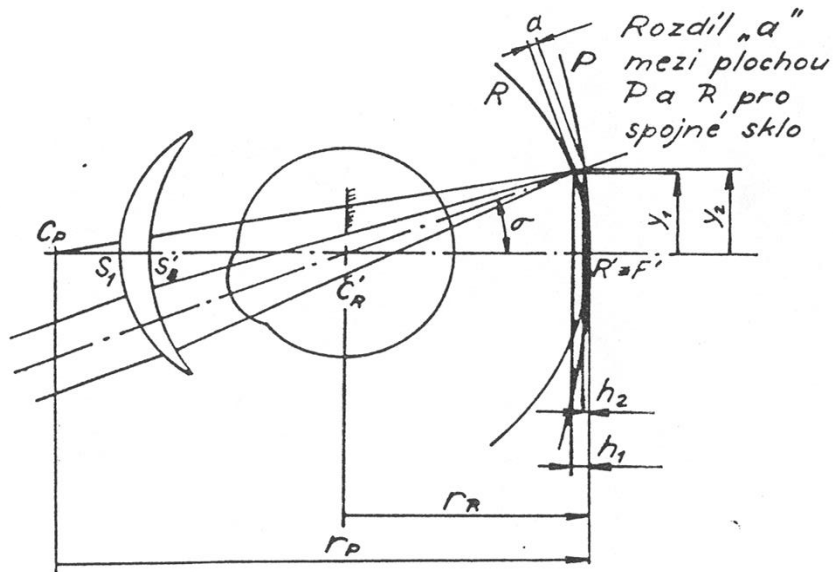
$$\frac{1}{R_P} = - \sum \frac{1}{n_i f_i'} = - \sum \frac{\varphi_i'}{n_i}$$

Petzvalova-Coddingtonova podmínka pro rovinné pole soustavy čoček:

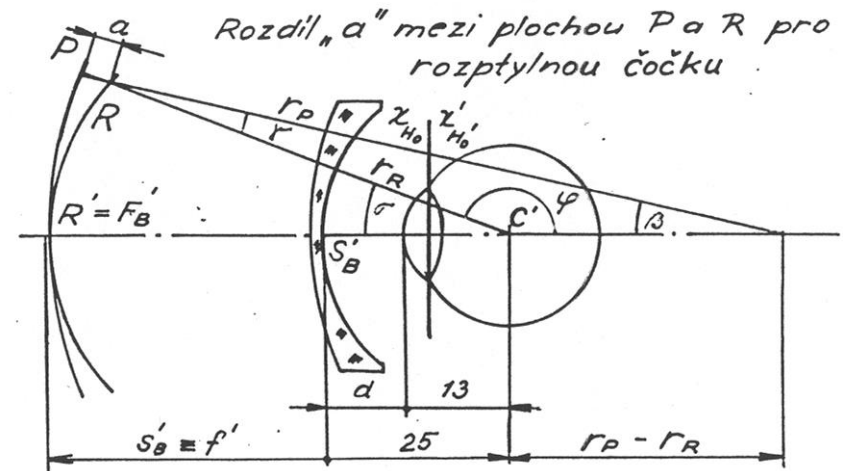
$$\frac{1}{R_P} = - \sum \frac{1}{n_i f_i'} = - \sum \frac{\varphi_i'}{n_i} = 0$$

Sklenutí pole a otáčení oka

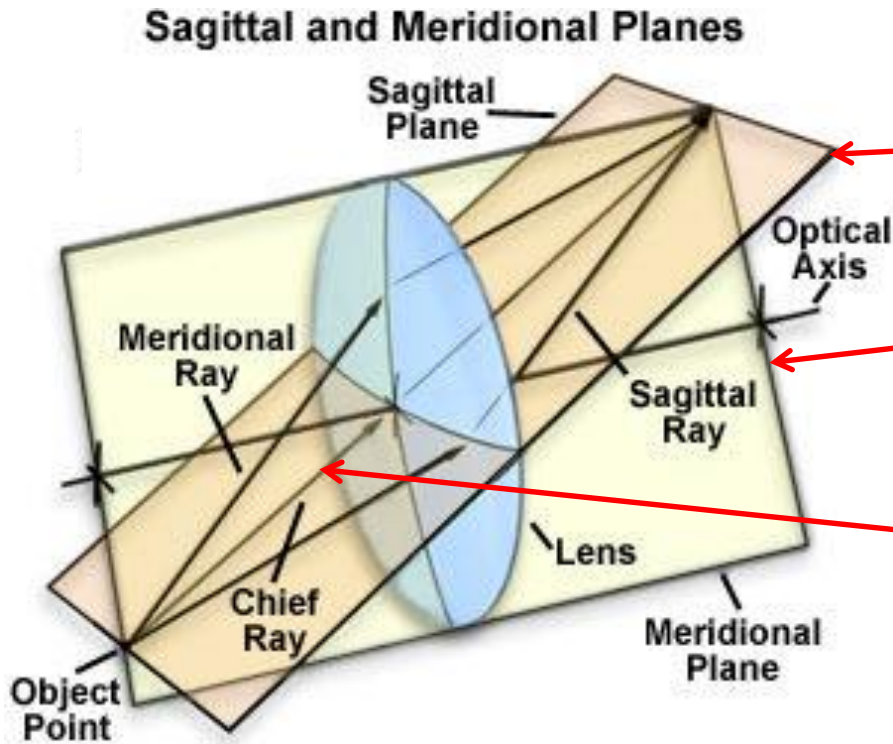
hypermetrop



myop



Tangenciální a sagitální rovina



sagitální rovina

obsahuje hlavní paprsek, je kolmá na tangenciální rovinu

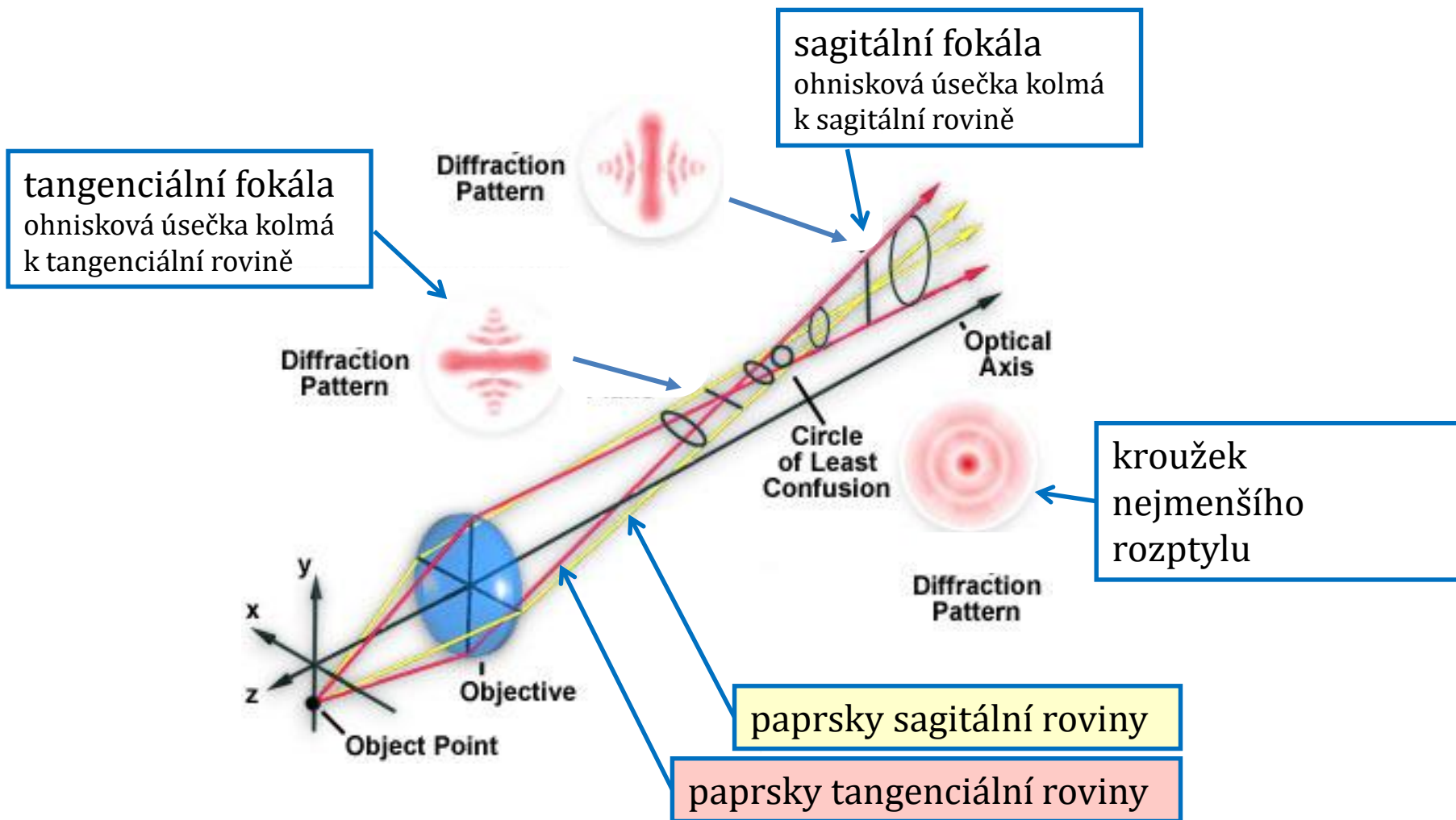
tangenciální (meridionální) rovina

obsahuje hlavní paprsek (tj. také předmětový bod) a optickou osu

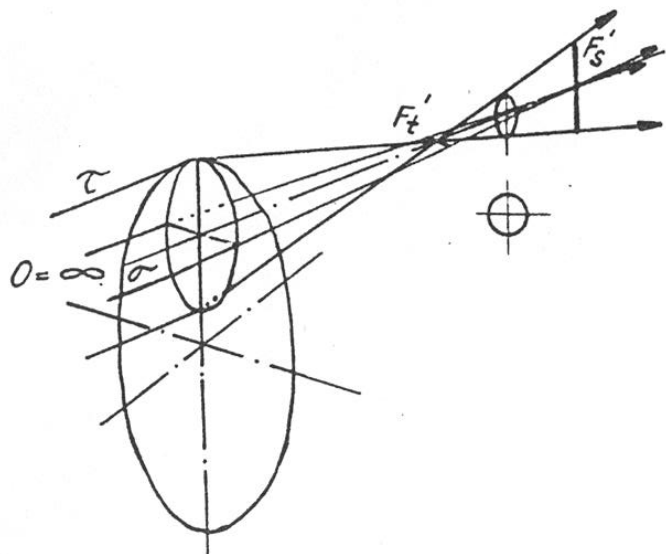
hlavní paprsek

prochází předmětovým bodem a středem pupily

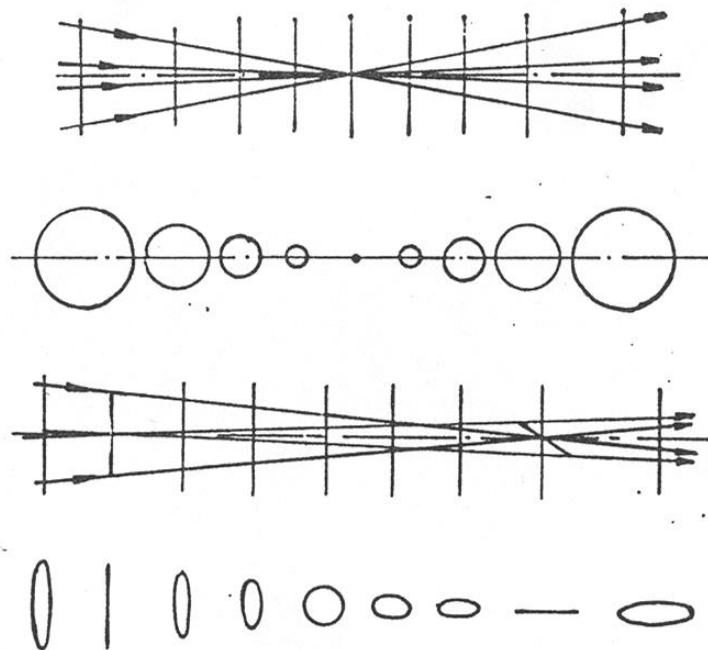
Astigmatický svazek



Astigmatický svazek



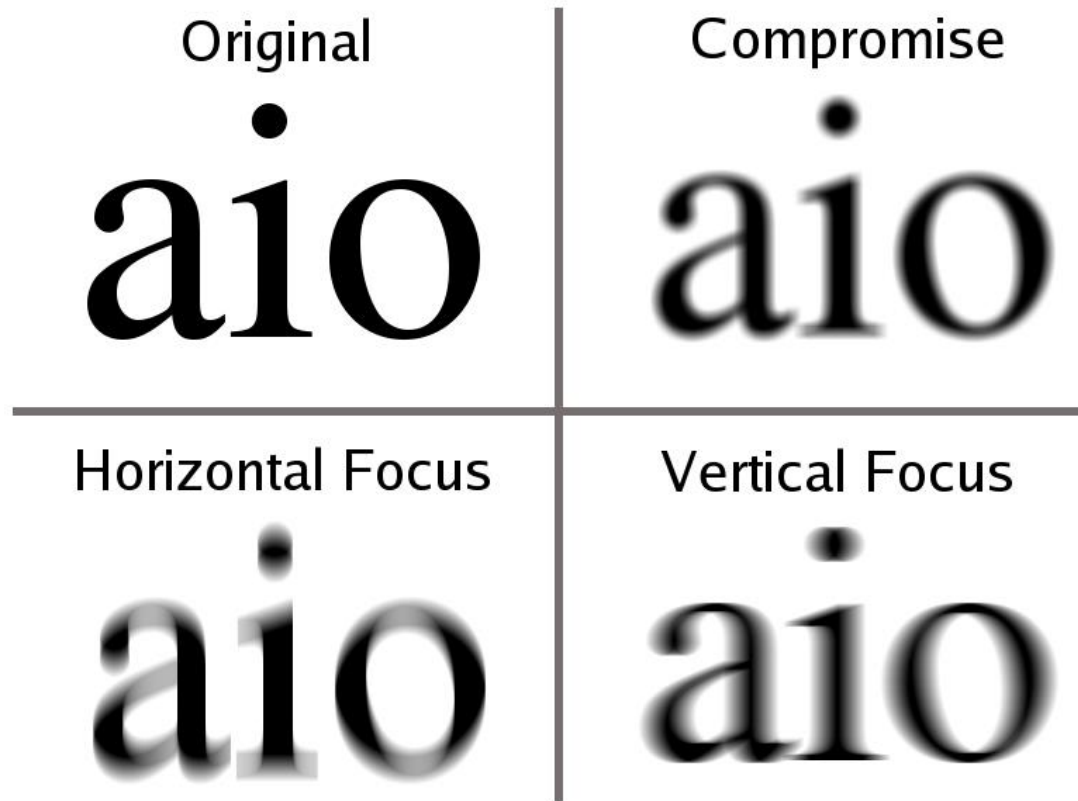
Fokály astigmatického svazku



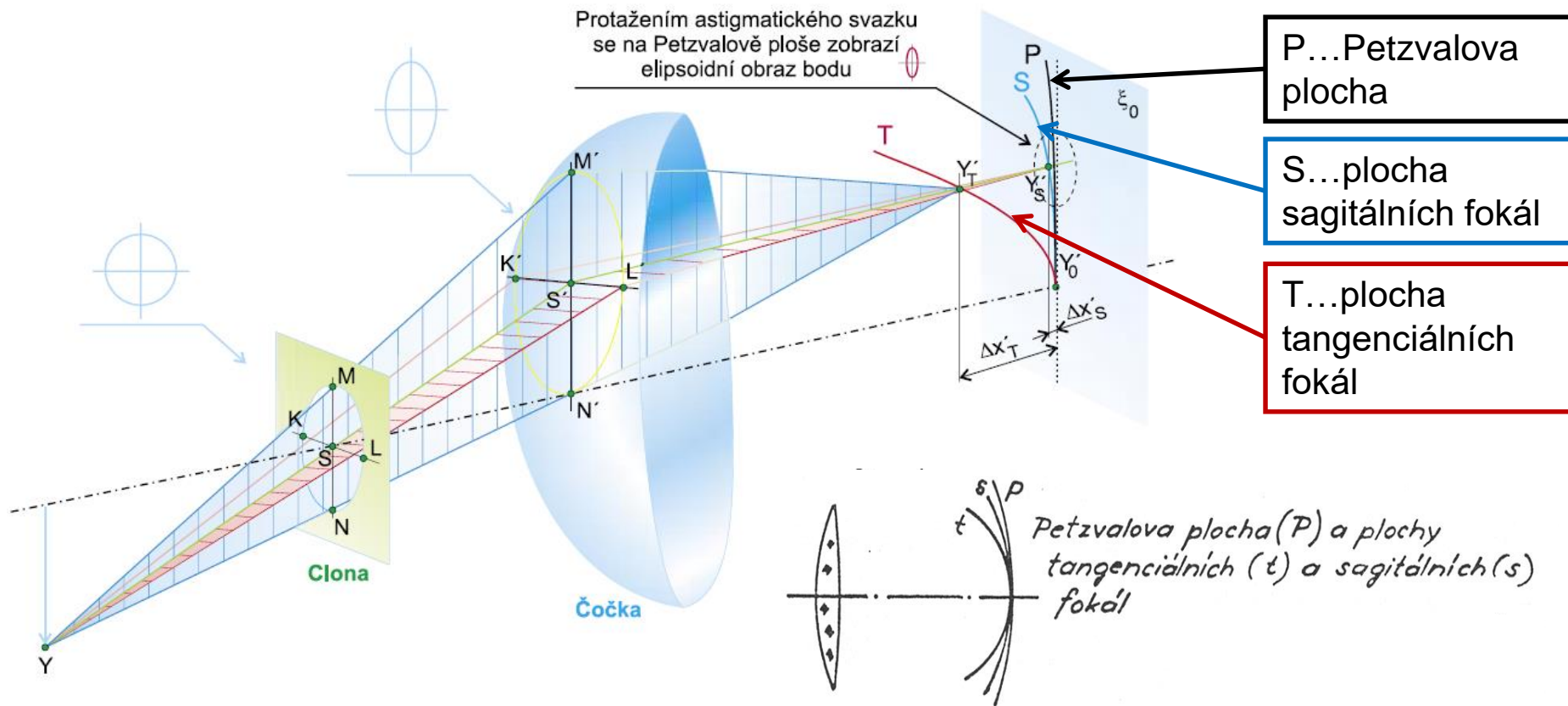
Ideální svazek paprsků

Astigmatický svazek paprsků

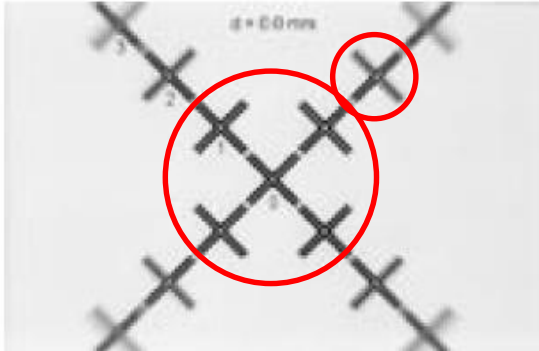
Zobrazení astigmatickým svazkem



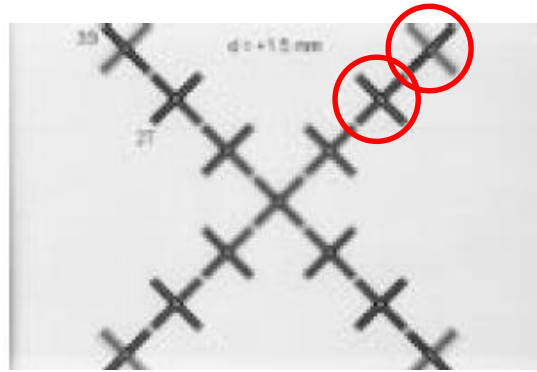
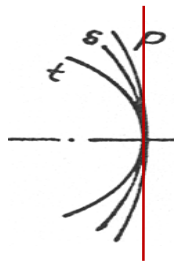
Periferní astigmatismus čočky



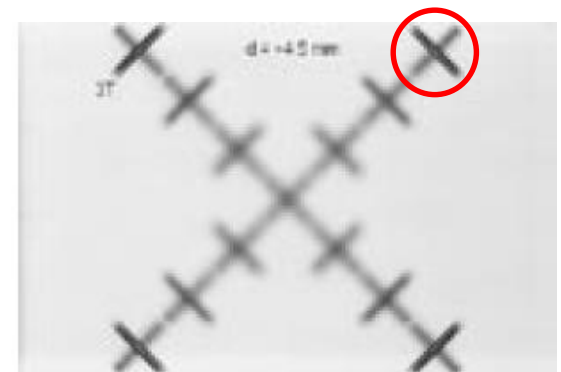
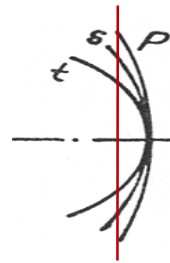
Zobrazení astigmatickým svazkem



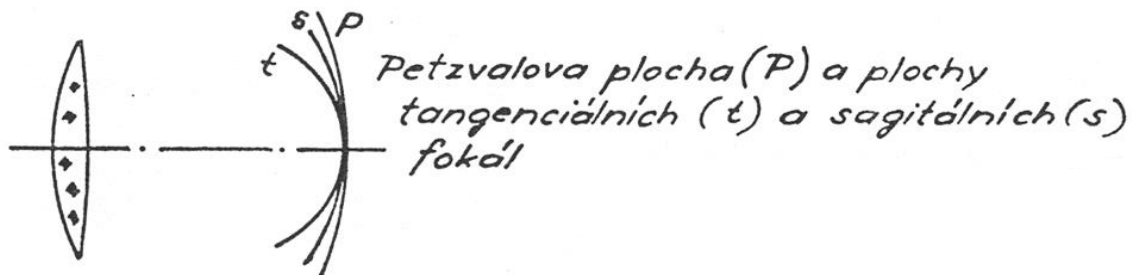
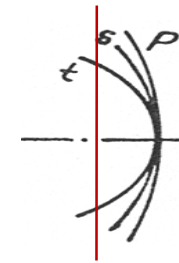
$d = 0$ mm
(od ohniska k čočce)
zaostřena centrální
část a 2S čáry



$d = -1,5$ mm
(od ohniska k čočce)
centrální část rozostřena,
zaostřeny 2T a 3S čáry



$d = -4,5$ mm
(od ohniska k čočce)
centrální část rozostřena,
zaostřeny 3T čáry



Korekce periferního astigmatismu



William Hyde Wollaston (1766-1828 ←) v roce 1804 prokázal, že zraková ostrost pozorovatele **klesá**, když se dívá přes **periferii** bikonvexních brýlových čoček. Současně zaznamenal, že skla ve tvaru menisku poskytují vyšší kvalitu vidění a navrhl sérii čoček s velkou křivostí, které zlepšovaly periferní vidění díky korekci periferního astigmatismu.

Franz Ostwalt* (1862-1937,) v roce 1898 navrhl sadu meniskových čoček s menšími křivostmi, které rovněž zmenšovaly periferní astigmatismus.

Návrhem čoček meniskového tvaru s korigovaným periferním astigmatismem se významně zabýval také **Marius Hans Erik Tscherning** (1854-1939, dánský optalmologista →).

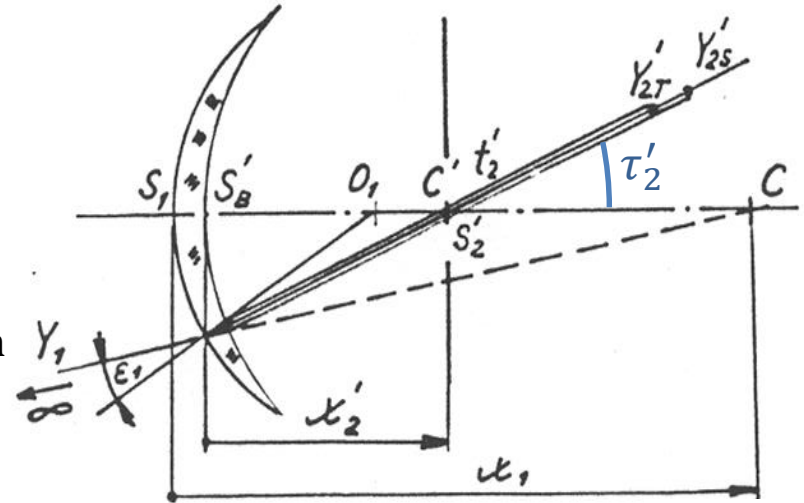


*Bývá zaměňován s Friedrichem Wilhelmem Ostwaldem, 1853-1932, slavným fyzikálním chemikem.

Výpočet poloh fokál 2 (postup)

1. počítáme vzdálenosti fokál $Y'_{2T,S}$ brýlové čočky
2. podmínka nulového periferního astigmatismu:

$$Ast = \frac{1}{t'_2} - \frac{1}{s'_2} = 0$$
3. svazek omezen zornicí, která rotuje s okem, proto ji nahradíme myšlenou pevnou clonou umístěnou do středu C' otáčení oka
4. hlavní paprsek tudíž prochází bodem C' ; průběh paprsku odvodíme zpětným trasováním
5. vzdálenosti fokál vypočteme použitím **Coddingtonových rovnic** postupně pro první a druhou plochy čočky



Coddingtonovy rovnice jsou obdobou Gaussovy zobrazovací rovnice. Platí pro úzký svazek v okolí hlavního paprsku a mají odlišný tvar pro **tangenciální** a **sagitální** rovinu. Pro jednu plochu mají tvar:

$$\frac{n' \cos^2 \varepsilon'}{t'} = \frac{n \cos^2 \varepsilon}{t} + \frac{n' \cos \varepsilon' - n \cos \varepsilon}{r}$$

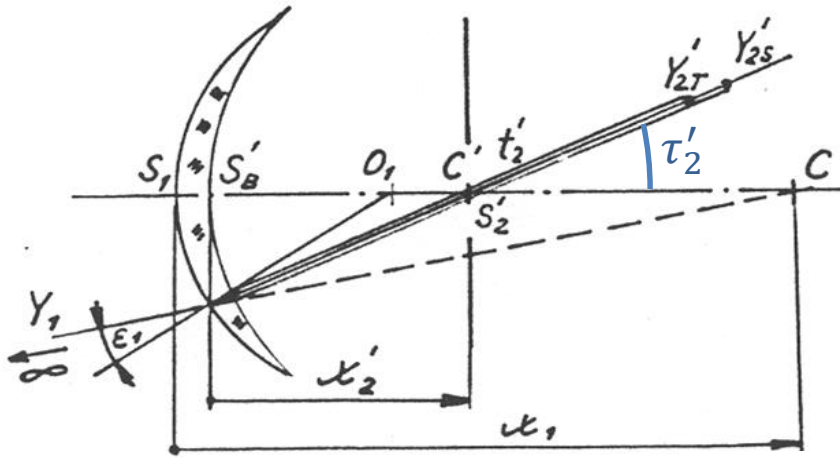
$$\frac{n'}{s'} = \frac{n}{s} + \frac{n' \cos \varepsilon' - n \cos \varepsilon}{r}$$

Gaussova zobrazovací rovnice (pro srovnání):

$$\frac{n'}{x'} = \frac{n}{x} + \frac{n' - n}{r}$$

($\varepsilon, \varepsilon'$... úhel dopadu, resp. lomu hlavního paprsku)

Podmínka nulového astigmatismu



Y_1	... předmětový bod v ∞
$Y'_{2T,S}$... fokály
$t'_2 s'_2$... vzdálenosti fokál
C'	... střed otáčení oka
τ'_2	... úhel otočení oka

1. podmínka $Ast = \frac{1}{t'_2} - \frac{1}{s'_2} = 0$ je splněna, právě když platí (aproximace tenké čočky):

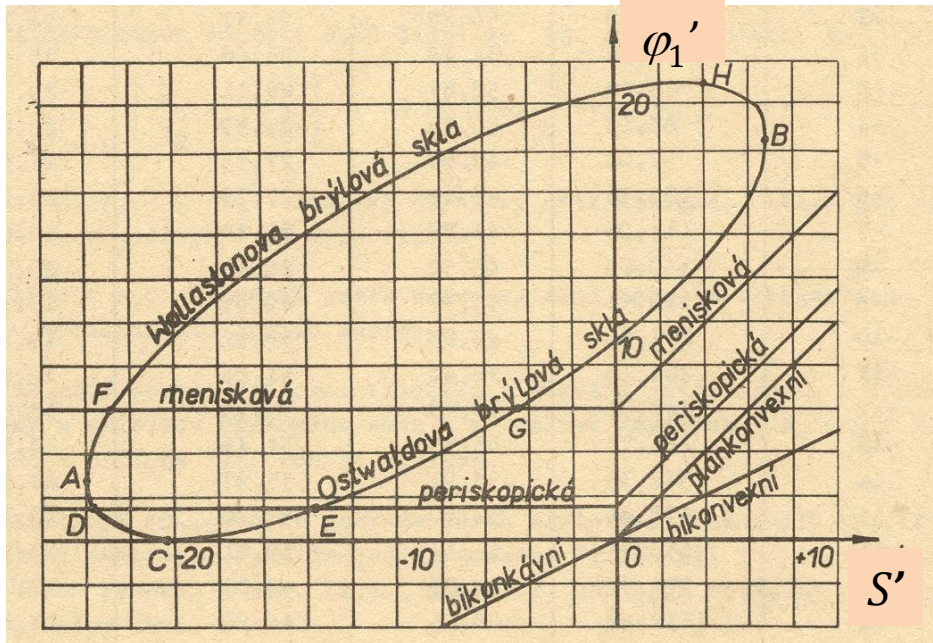
$$\varphi_1'^2(n+2) - \varphi_1' \left[\varphi_C'(n+2) + \frac{2}{x_2'}(n^2-1) \right] + n \left(\varphi_C' + \frac{n-1}{x_2'} \right)^2 = 0$$

2. řešení této kvadratické rovnice pro $n = 1,523$, $x_2' = 25$ mm má tvar:

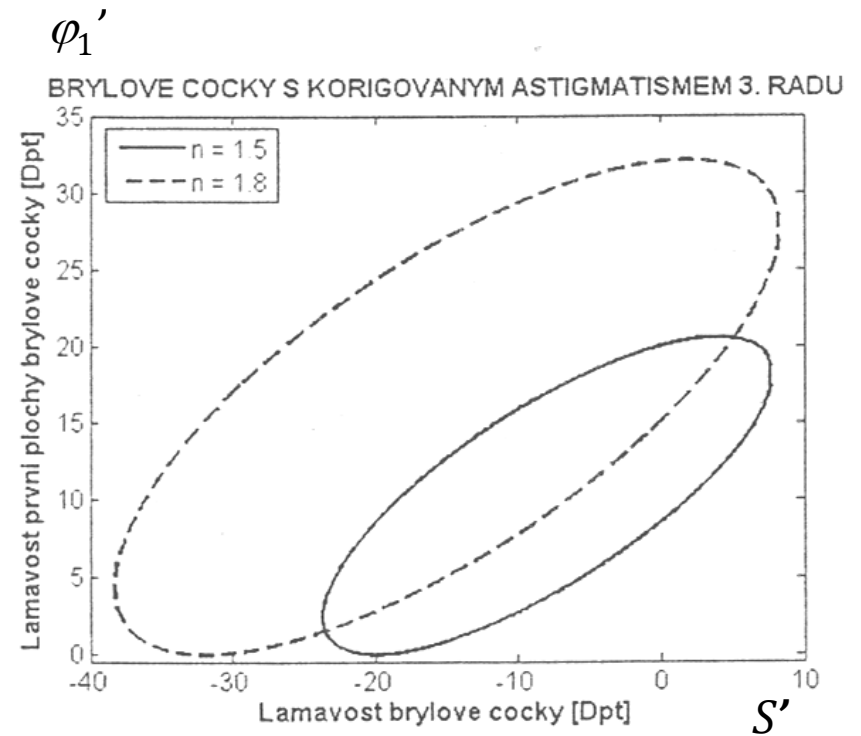
$$\varphi_1' = \frac{\varphi_C' + 29,78}{2} \pm \sqrt{\left(\frac{\varphi_C' + 29,78}{2} \right)^2 - 0,4318\varphi_C'^2 - 17,96\varphi_C' - 186,8}$$

3. Graficky je výsledek vyjádřen pomocí tzv. Tscheringovy elipsy \rightarrow

Tscherningova elipsa

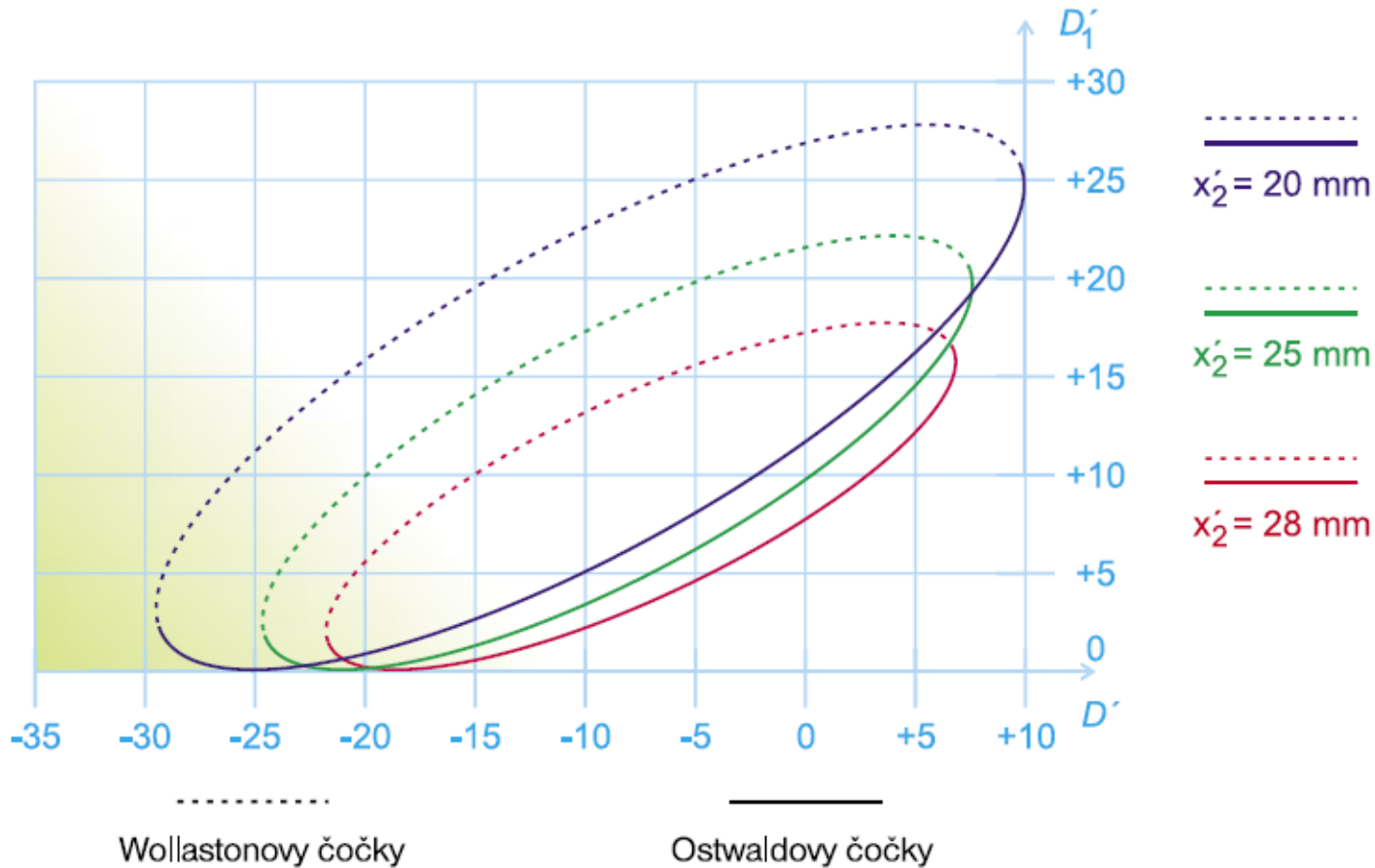


$$n = 1,523, x'_2 = 25 \text{ mm}$$



$$n = 1,5 / n = 1,8, x'_2 = 25 \text{ mm}$$

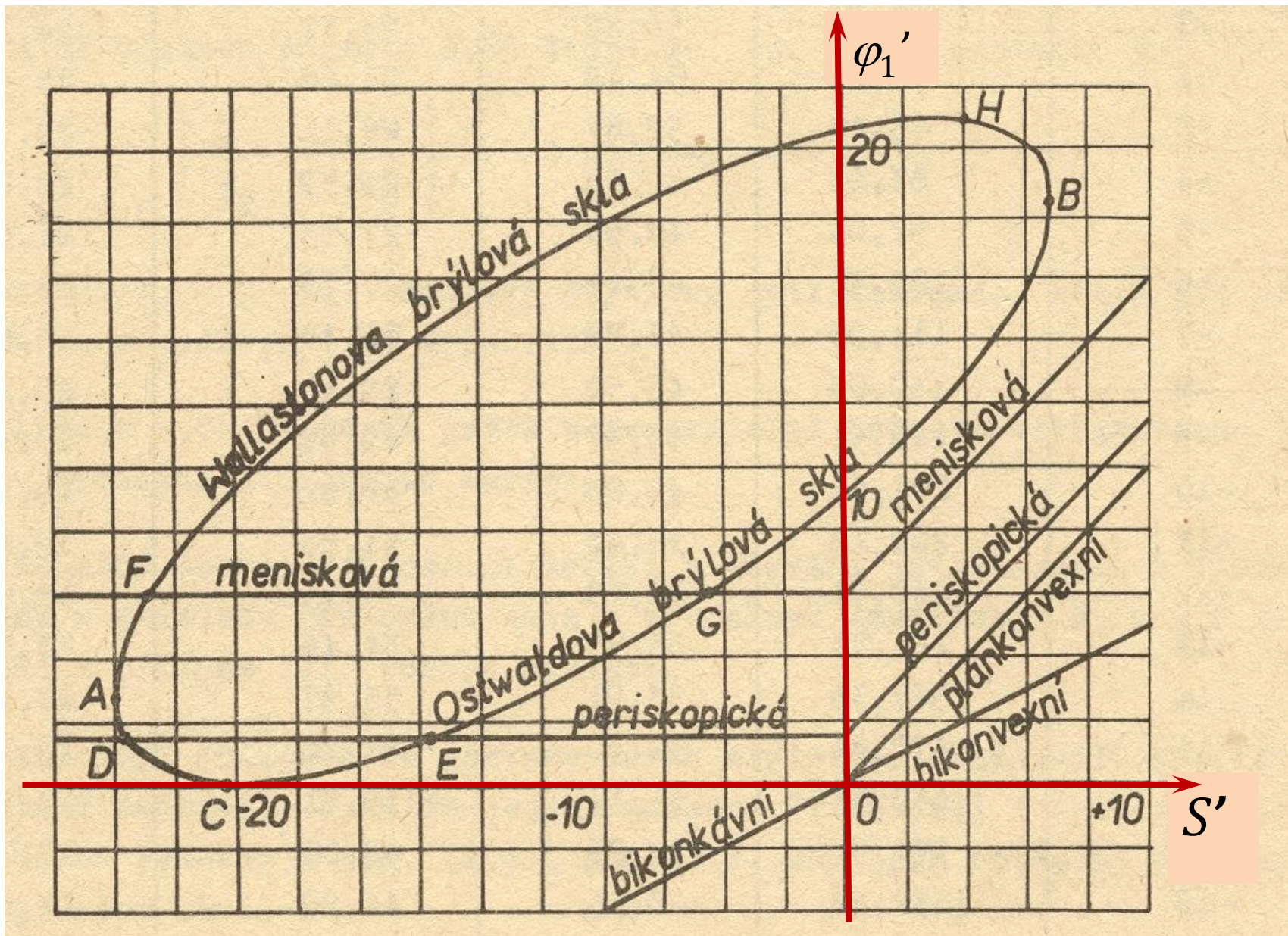
Tscherningova elipsa



vzdálenost BČ od
středu otáčení oka

Oblasti řešení

$$n = 1,523, x'_2 = 25 \text{ mm}$$



Poloměry křivosti ploch

S' [D]	Ostwalt		Wollaston	
	1. řešení		2. řešení	
	r ₁ mm	r ₂ mm	r ₁ mm	r ₂ mm
7	32,01	55,99	25,36	38,39
6	35,32	59,37	24,72	34,61
5	38,49	60,89	24,47	31,94
4	41,78	61,29	24,39	29,98
3	45,27	61,16	24,43	28,41
2	49,06	60,39	24,52	27,09
1	53,22	59,25	24,74	25,97
0	57,83	57,83	24,99	24,99
-1	62,93	56,22	25,31	24,15
-2	68,84	54,49	25,68	23,38
-3	75,48	52,67	26,11	22,71
-4	83,13	50,82	26,59	22,09
-5	92,04	48,96	27,13	21,54
-6	102,51	47,11	27,73	21,04
-7	114,98	45,29	28,40	20,58
-8	130,03	43,50	29,15	20,17
-9	148,51	41,77	29,99	19,78
-10	171,63	40,09	30,92	19,43
-11	201,18	38,46	31,96	19,11
-12	240,01	36,89	33,13	18,82
-13	294,73	35,37	34,46	18,57
-14	367,35	33,91	35,97	18,33
-15	478,84	32,50	37,70	18,12
-16	658,21	31,14	39,71	17,93
-17	978,67	29,83	42,08	17,77
-18	1652,92	28,55	44,90	17,64
-19	3552,02	27,32	48,35	17,54
-20	14223,55	26,10	52,69	17,48
-21	261500,00	24,90	58,35	17,46
-22	8211,65	23,70	66,20	17,49
-23	1869,99	22,47	78,25	17,62
-24	664,41	21,10	86,07	17,99

Platí pro tenké brýlové čočky
vzdálené 25 mm od bodu otáčení oka
při pozorování vzdálených předmětů
a pro malé úhly.

Bodově zobrazující čočky (Carl Zeiss 1912)



Moritz von Rohr (1868-1940)

V roce 1912 propočítal design bodově zobrazujících čoček pro Carl Zeiss (Jena).

Tak začala výroba čoček (skel) „Punktal“.

ZEISS PUNKTAL-GLÄSER

Durch das
alte bikonvexe Brillenglas

sieht man von der Mitte nach dem Rande zunehmend schlechter

Durch das
ZEISS-Punktalglas

sieht man von der Mitte bis zum Rande gleich gut

Druckschrift „Opto 55“ kostenlos

BERLIN HAMBURG WIEN Buenos Aires

ZEISS PUNKTAL-GLÄSER

Punktuell abbildende Brillengläser für Kurz- u. Weitsichtigkeit u. Astigmatismus.

Diese Bilder werden wahrgenommen bei einer Ablenkung der Blickrichtung um 10°, 20°, 30° von der Achse

Deutliche Abbildung
bei jeder Blickrichtung von der Mitte bis zum Rande des Glases.

Ausnutzung der natürlichen Beweglichkeit des Auges.

Brillen mit Zeiss-Punktalgläsern sind ohne Mechanismus als Schiessbrillen verwendbar.

Nur durch Optiker zu beziehen.

Prospekt Opto 17 kostenfrei.

BERLIN · HAMBURG · WIEN · BUENOS AIRES

3

Korekce astigmatismu pro tlusté brýlové čočky

Podmínka pro korekci periferního astigmatismu vyjádřená Tscherningovou elipsou byla odvozena pro:

- tenkou čočku
- předmět v nekonečnu
- malé úhly

$$Ast = \frac{1}{t'_2} - \frac{1}{s'_2} = 0$$

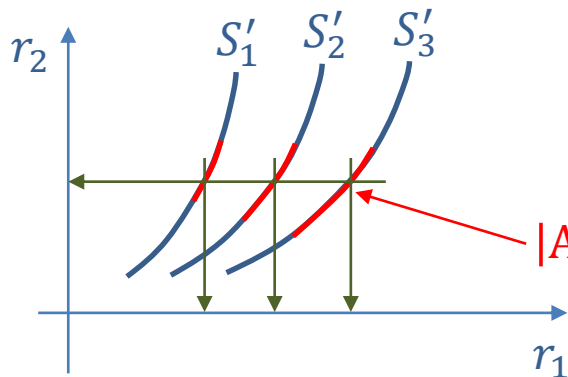
Postup návrhu **tlustých bodově zobrazujících čoček**:

1. výchozí poloměry křivosti r_1, r_2 se vypočtou pro tenkou čočku
2. numerickým trasováním paprsků se sleduje astigmatismus šikmých svazků pro navrhovanou tlustou čočku, požadovaný úhel τ'_2 natočení oka (například 30°) a požadovanou polohu předmětu
3. poloměry křivosti se mírně upravují s cílem dosáhnout hodnoty astigmatismu $|Ast| = \left| \frac{1}{t'_2} - \frac{1}{s'_2} \right| \leq 0,05 D$ – pro tuto hodnotu má rozptylová elipsa na sítnici úhlovou velikost pod $1'$, tj. vidíme ji jako bod

Princip návrhu **tlustých** bodově zobrazujících čoček

Prakticky se sjednocují mohutnosti první či druhé plochy pro několik sousedních hodnot S' :

1. pro zadané S' se numericky stanoví **oblast** (hodnoty r_1, r_2), na které platí $|Ast| \leq 0,05 D$



$$r_2 = r_2(r_1, S', n_B, d_B, \dots) \approx \frac{r_1}{1 - S' \frac{r_1}{n_B - 1}}$$

2. pak se zvolí hodnota jednoho z poloměrů křivosti (například r_2), která protíná všechny zvolené toleranční oblasti a pro tuto hodnotu se dopočítají potřebné hodnoty r_1 odpovídající požadované S'

Příklad českých čoček – „skupinová skla“

Charakteristické parametry skupinových skel čs. výroby

Vrcholová lámavost A' [dpt]	Optická mohutnost základní plochy D ₂ resp. D ₁ [dpt]	Optická mohutnost doplňkové (vofici) plochy [dpt]	Seřadová tloušťka d [mm]
S _B 0,00	φ ₂ D ₁ = -6,00 dpt	φ ₁ +5,95	d 1,8
+0,25		+6,20	1,8
+0,50		+6,44	2,0
+0,75		+6,68	2,1
+1,00		+6,93	2,2
+1,25		+7,17	2,3
+1,50		+7,41	2,4
+1,75		+7,65	2,5
+2,00		+7,89	2,6
+2,25		+8,13	2,7
+2,50		+8,36	2,8
+2,75		+8,60	2,9
+3,00		+8,84	3,0
+3,25		+9,07	3,1
+3,50		+9,20	3,3
+3,75		+9,54	3,4
+4,00		+9,67	3,6
+4,50		+10,23	3,8
+5,00	+10,69	4,0	
+5,50	+11,13	4,4	
+6,00	+11,57	4,7	
+6,50	+12,04	4,6	
+7,00	+12,46	5,0	
+7,50	+12,89	5,3	
+8,00	+13,31	5,6	
+8,50	+13,77	5,5	
+9,00	D ₁ = -4,00 dpt	+12,40	5,6
+9,50		+12,82	5,9
+10,00		+13,24	6,2
+10,50		+13,66	6,4
+11,00		+14,15	6,3
+11,50		+14,54	6,4
+12,00		+14,92	6,8
+12,50		+15,30	7,2
+13,00		+15,60	7,6
+13,50		+16,03	8,0
+14,00	+16,38	8,3	
+14,50	+16,72	8,8	
+15,00	D ₁ = -3,00 dpt	+16,38	8,3
+15,50		+16,72	8,8
+16,00		+17,05	9,1
+17,00		+17,72	9,8
+18,00		+18,50	9,8
+19,00	D ₂ = -1,00 dpt	+17,55	10,6
+20,00		+18,18	11,2

(pokračování)

Vrcholová lámavost A' [dpt]	Optická mohutnost základní plochy D ₂ resp. D ₁ [dpt]	Optická mohutnost doplňkové (vofici) plochy [dpt]	Seřadová tloušťka d [mm]
S _B -0,25	φ ₁ D ₁ = +6,00 dpt	φ ₂ -6,29	d 1,7
-0,50		-6,53	1,6
-0,75		-6,78	1,5
-1,00		-7,03	1,4
-1,25		-7,28	1,3
-1,50		-7,52	1,2
-1,75		-7,77	1,2
-2,00		-8,02	1,1
-2,25		-8,27	1,1
-2,50		-8,52	1,1
-2,75		-8,77	1,0
-3,00		-9,02	0,9
-3,25		-9,26	0,8
-3,50		-9,51	0,8
-3,75		-9,76	0,8
-4,00	D ₁ = +4,50 dpt	-8,51	0,8
-4,50		-9,01	0,8
-5,00		-9,51	0,8
-5,50		-10,00	0,7
-6,00		-10,50	0,7
-6,50	D ₁ = +3,00 dpt	-9,52	0,7
-7,00		-10,02	0,7
-7,50		-10,52	0,6
-8,00		-11,02	0,6
-8,50		-11,52	0,5
-9,00	-12,02	0,5	
-9,50	D ₁ = +2,00 dpt	-11,52	0,5
-10,00		-12,02	0,5
-10,50		-12,51	0,5
-11,00		-13,02	0,5
-11,50		-13,52	0,5
-12,00	D ₁ = +1,00 dpt	-13,02	0,5
-12,50		-13,51	0,5
-13,00		-14,01	0,5
-13,50		-14,50	0,5
-14,00		-15,00	0,5
-14,50		-15,50	0,5
-15,00		-16,00	0,5
-15,50		-16,50	0,5
-16,00	D ₁ = 0,00 dpt	-16,00	0,5
-17,00		-17,00	0,5
-18,00		-18,00	0,5
-19,00		-19,00	0,5
-20,00		-20,00	0,5

Příklad českých čoček – Diosfer, Punktur

autoři využili počítačací stroje a podrobně zhodnotili vliv tloušťky i křivosti skel s ohledem na optimální návrh při pozorování různých vzdálených předmětů. Kompromisem mezi konvenční vzdáleností do blízka (250 mm) a do dálky (∞) dospěli k brýlovým sklům s minimálním astigmatismem. Tato skla vyrábí n. p. Dioptra – Turnov pod názvem DIOSFER (tabulka 1.13).

Skutečnost, že jde o bodově zobrazující brýlová skla, zdůrazňují někteří výrobci, v jejich názvu (C. Zeiss: PUNCTAL, Dioptra: PUNKTUR; punctum (lat.) = bod). Některé parametry skel zn. PUNKTUR jsou uvedeny v tabulce 1.14.

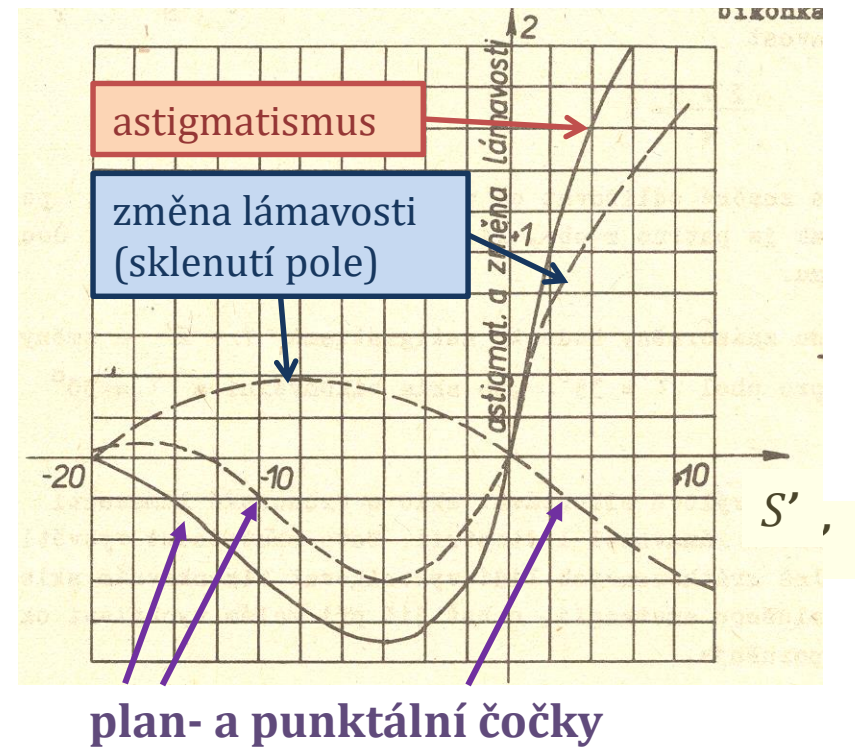
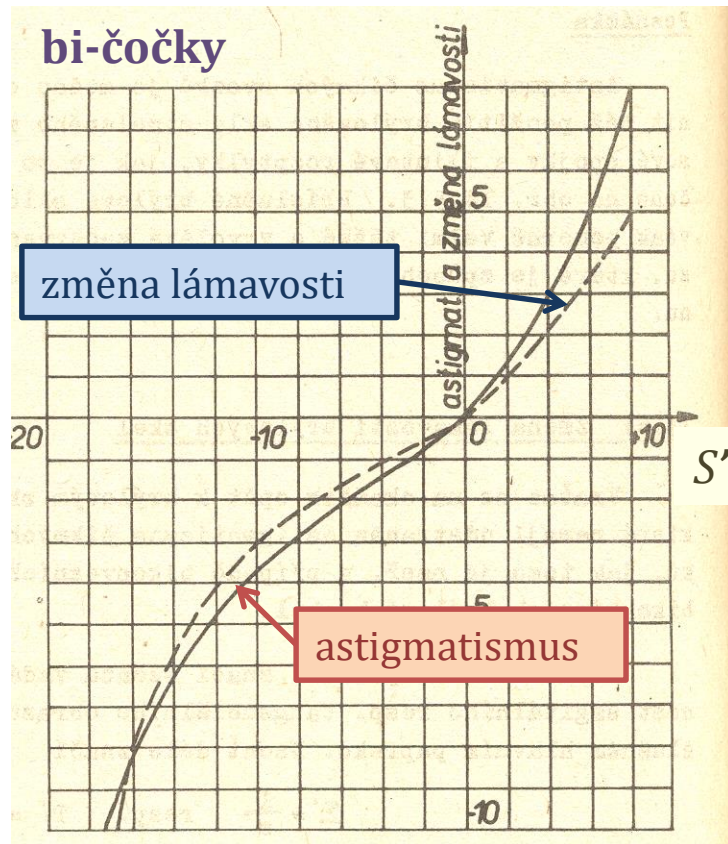
Charakteristické parametry čs. brýlových skel DIOSFER

Vrcholová lámavost K' [dpt]	Optická mohutnost vypuklé plochy D_1 [dpt]	Optická mohutnost duté plochy D_2 [dpt]	Středová tloušťka d [mm]
S_1^+ S_2^+ 0,00	φ_1^+ +5,95	φ_2^+	d 2,0
+0,25	+6,20	-6,00	2,1
+0,50	+6,45		2,2
+0,75	+6,70		2,3
+1,00	+6,95		2,4
+1,25	+7,19		2,6
+1,50	+7,44		2,7
+1,75	+7,65		2,8
+2,00	+7,92		2,9
+2,25	+8,13		3,0
+2,50	+8,38		3,2
+2,75	+8,63		3,3
+3,00	+8,86		3,4
+3,25	+9,10		3,5
+3,50	+9,34		3,7
+3,75	+9,57		3,8
+4,00	+9,81		4,0
-0,25	+6,00	-6,30	1,7
-0,50		-6,55	1,6
-0,75		-6,80	1,5
-1,00		-7,05	1,5
-1,25	+5,50	-6,80	1,4
-1,50		-7,05	1,3
-1,75		-7,30	1,3
-2,00		-7,55	1,2
-2,25	+5,00	-7,30	1,2
-2,50		-7,55	1,1
-2,75		-7,79	1,0
-3,00		-8,04	1,0
-3,25	+4,50	-7,79	1,0
-3,50		-8,04	1,0
-3,75		-8,28	1,0
-4,00		-8,53	1,0

Charakteristické parametry čs. bodově zobrazujících skel PUNKTUR

Vrcholová lámavost K' [dpt]	Optická mohutnost vypuklé plochy D_1 [dpt]	Optická mohutnost duté plochy D_2 [dpt]	Středová tloušťka d [mm]	
S_1^+ S_2^+ +0,25	φ_1^+ +6,355	φ_2^+	d 1,8	
+0,50	+6,601	-6,153	1,8	
+0,75	+6,844		1,9	
+1,00	+7,077		2,0	
+1,25	+7,327		2,1	
+1,50	+7,569		2,2	
+1,75	+7,809		2,3	
+2,00	+8,759		-6,882	2,4
+2,25	+8,997			2,5
+2,50	+9,234	2,6		
+2,75	+9,464	2,8		
+3,00	+9,687	3,1		
+3,25	+9,926	3,1		
+3,50	+10,159	3,2		
+3,75	+10,391	3,3		
+4,00	+10,617	3,5		
+4,50	+11,308	-7,164		4,1
+5,00	+11,472		4,5	
+5,50	+12,168		4,9	
+6,00	+12,599		5,2	
-0,25	+6,173	-7,449	1,6	
-0,50		-7,736	1,5	
-0,75		-7,990	1,4	
-1,00		-8,232	1,3	
-1,25		-8,444	1,1	
-1,50		-8,699	1,0	
-1,75		-8,963	0,9	
-2,00		-9,214	0,9	
-2,25		-8,444	0,9	
-2,50		-8,699	0,9	
-2,75		-8,963	0,9	
-3,00		-9,214	0,9	
-3,25		-9,473	0,9	
-3,50		-9,694	0,8	
-3,75		+5,451	-9,214	0,8
-4,00			-9,473	0,7
-4,50	-9,966		0,7	
-5,00	+4,705	-9,694	0,6	
-5,50		-10,197	0,6	
-6,00		-10,728	0,6	

Astigmatismus a sklenutí pole



$Ast = \frac{1}{t'_2} - \frac{1}{s'_2} \dots$ **astigmatismus** (rozdíl vergencí vzdáleností tangenciální a sagitální fokály)

$PE = \frac{1}{2} \left(\frac{1}{t'_2} + \frac{1}{s'_2} \right) - S' \dots$ **změna (odchylka) lámavosti** (rozdíl vergence vzdálenosti kroužku nejmenšího rozptylu a vrcholové lámavosti)

Další filozofie designu brýlových čoček

Percivalovo řešení

Archibald Stanley Percival (anglický ophthalmologista) navrhl roku 1901 jiné řešení pro periferní vady brýlové čočky – nekorigoval periferní astigmatismus, ale navrhl čočky, které **vytvářely kroužek nejmenšího rozptylu (KNR) na sféře dalekého bodu oka.**

- vznikly čočky s periferním astigmatismem, ale bez odchylky lámavosti
- nevýhody:
 - nerovnoměrné osvětlení KNR
 - Percivalova podmínka je podstatně přísnější na dodržení konstrukčních parametrů (vzdálenost plochy od oka, předmětová vergence)
 - akomodace oka vede ke ztrátě rotační symetrie stopy
- proto ve 20. století navrhovány zejména punktální čočky

Čočky s minimální tangenciální vadou

Čočka, jejíž plocha tangenciálních fokál koinciduje se sférou dalekého bodu:

- poměrně malý astigmatismus
- stabilní vzhledem k předmětové vergenci a ke vzdálenosti brýlové čočky (při vzdalování se chová jako punktální, při přibližování jako Percivalova)

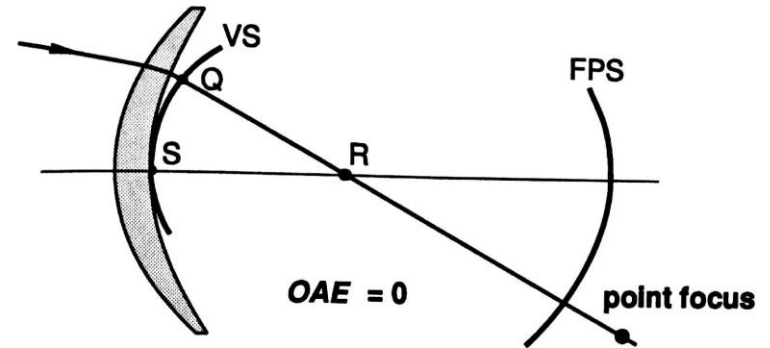
Moderní design

Moderní čočky jsou navrhovány jako kompromis z hlediska:

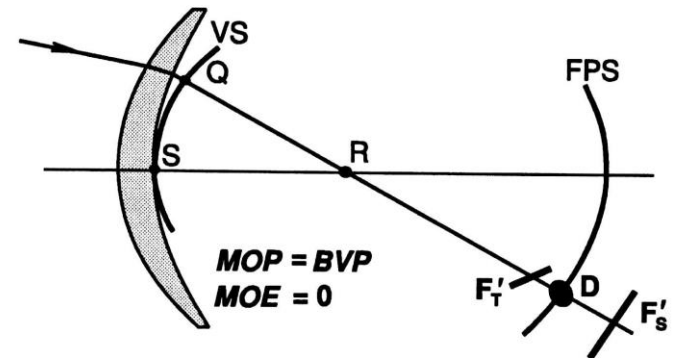
- korekce astigmatismu a sklenutí
- vidění do dálky a do blízka
- rozsahu korigovaného pole
- výrobní tolerance indexu lomu
- váhy a vzhledu čoček

Požaduje se rovněž korekce **zkreslení** a **příčné barevné vady**.

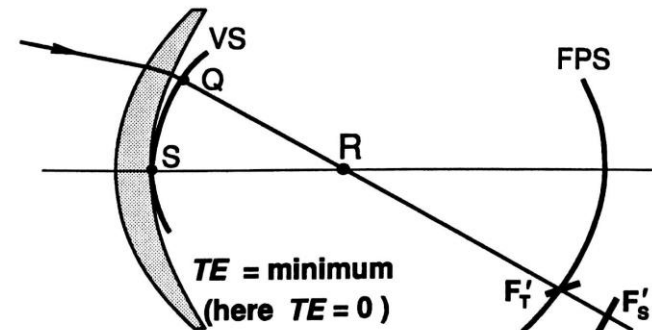
(a) Point Focal Form



(b) Periclival Form



(c) Minimum Tangential Error Form

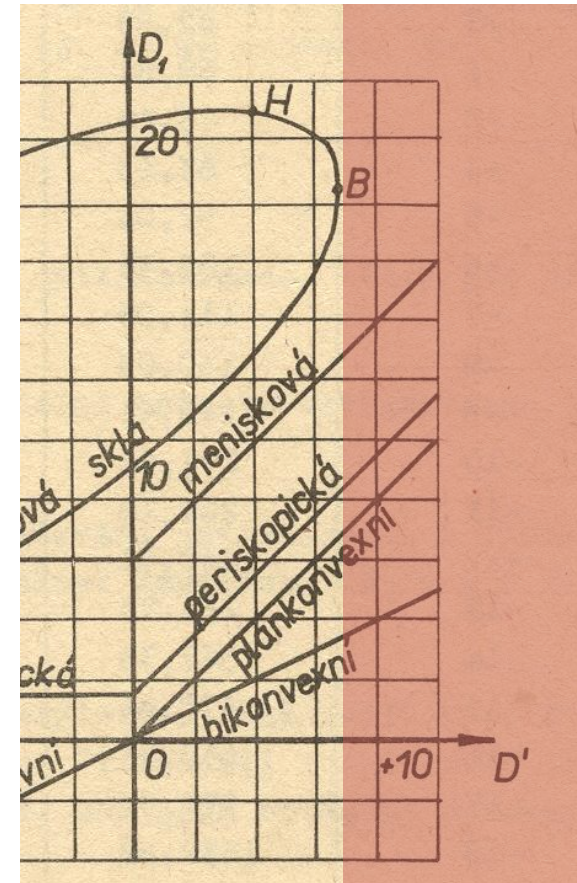


Asférické plochy


ZEISS
KATRALGLÄSER
 für Star-Operierte

Blick- richtung	Schriftproben		Blick- richtung
0°	nr n r	nr n r	0°
10°	nr n r	nr n r	10°
20°	nr n r	nr n r	20°
30°	nr n r	nr n r	30°

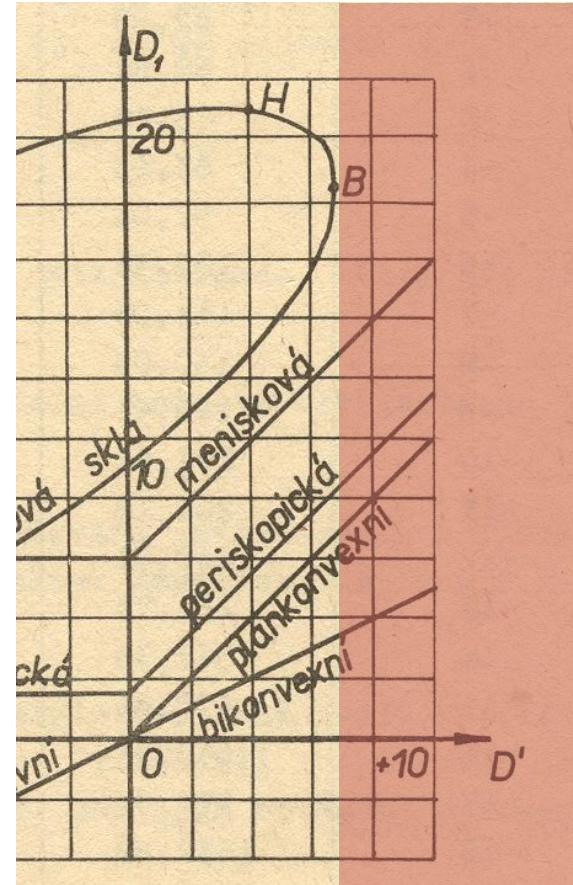
Schriftproben, gesehen durch
 ein gleichseitiges Starglas von + 13 dptr ein Katralglas von + 13 dptr
 in den angegebenen Blickrichtungen zur optischen Achse
 des Glases



Asférické plochy

$$\frac{n'}{s'} = \frac{n}{s} + \frac{n' \cos \varepsilon' - n \cos \varepsilon}{r}$$

$$\frac{n' \cos^2 \varepsilon'}{t'} = \frac{n \cos^2 \varepsilon}{t} + \frac{n' \cos \varepsilon' - n \cos \varepsilon}{r}$$



Optické vlastnosti materiálů brýlových čoček

důležité parametry:

- index lomu
- Abbeovo číslo
- hustota
- UV mezní bod
- curve variation factor (CVF)
- odrazivost

index lomu

n_d ... pro čáru d

n_e ... pro čáru e

Medium	n_d	n_e	CVF	Density	UV cut-off	Abbe	$\rho(\%)$
Glasses							
White Crown	1.523	1.525	1.0	2.5	320	59	4.3
Light flint	1.600	1.604	0.87	2.6	334	42	5.3
1.7 glasses	1.700	1.705	0.75	3.2	340	35	6.7
	1.701	1.706	0.75	3.2	320	42	6.7
1.8 glasses	1.802	1.807	0.65	3.7	332	35	8.2
	1.830	1.838	0.63	3.6	340	32	8.6
1.9 glasses	1.885	1.893	0.59	4.0	340	31	9.4
Plastics							
CR39	1.498	1.500	1.0	1.3	355	58	4.0
INDO Superfin	1.523	1.525	0.95	1.3	350	48	4.3
Trivex®	1.532	1.535	0.94	1.1	380	46	4.4
Sola Spectralite	1.537	1.540	0.93	1.2	385	47	4.5
Corning SunSensors®	1.555	1.558	0.90	1.2	380	38	4.7
PPG HIP	1.560	1.563	0.89	1.2	370	38	4.8
AO Alphalite 16XT	1.582	1.585	0.86	1.3	380	34	5.1
Polycarbonate	1.586	1.589	0.85	1.2	385	30	5.2
Hoya Eyas 1.6	1.600	1.603	0.83	1.3	380	42	5.3
Polyurethanes	1.600	1.603	0.83	1.3	380	36	5.3
	1.609	1.612	0.82	1.4	380	32	5.4
	1.660	1.664	0.75	1.4	375	32	6.2
	1.670	1.674	0.74	1.4	395	32	6.3
Hoya Eyry 1.7	1.695	1.710	0.72	1.4	380	36	6.7
High index 1.71	1.710	1.715	0.70	1.4	380	36	6.9
Very high index	1.740	1.746	0.67	1.5	400	33	7.3

Optické vlastnosti materiálů brýlových čoček

důležité parametry:

- **index lomu**

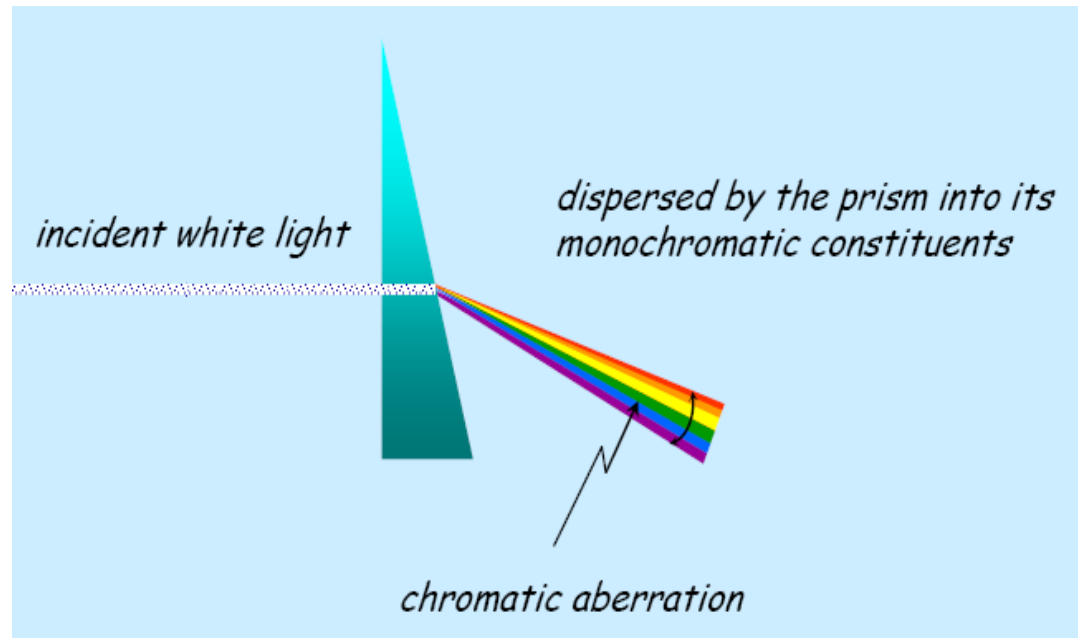
- Abbeovo číslo
- hustota
- UV mezní bod
- curve variation factor (CVF)
- odrazivost

normal index	$n \geq 1.48$	but < 1.54
mid index	$n \geq 1.54$	but < 1.64
high index	$n \geq 1.64$	but < 1.74
very high index	$n \geq 1.74$	

Optické vlastnosti materiálů brýlových čoček

důležité parametry:

- index lomu
- **Abbeovo číslo**
- hustota
- UV mezní bod
- curve variation factor (CVF)
- odrazivost



$$V = \frac{n_D - 1}{n_F - n_C}$$

kde n_D , n_F a n_C je index lomu příslušného materiálu na vlnových délkách odpovídajících Fraunhoferovým čárám D, F a C (tj. 589,2 nm, 486,1 nm a 656,3 nm).

Optické vlastnosti materiálů brýlových čoček

důležité parametry:

- index lomu
- **Abbeovo číslo**
- hustota
- UV mezní bod
- curve variation factor (CVF)
- odrazivost

$$V = \frac{n_D - 1}{n_F - n_C}$$

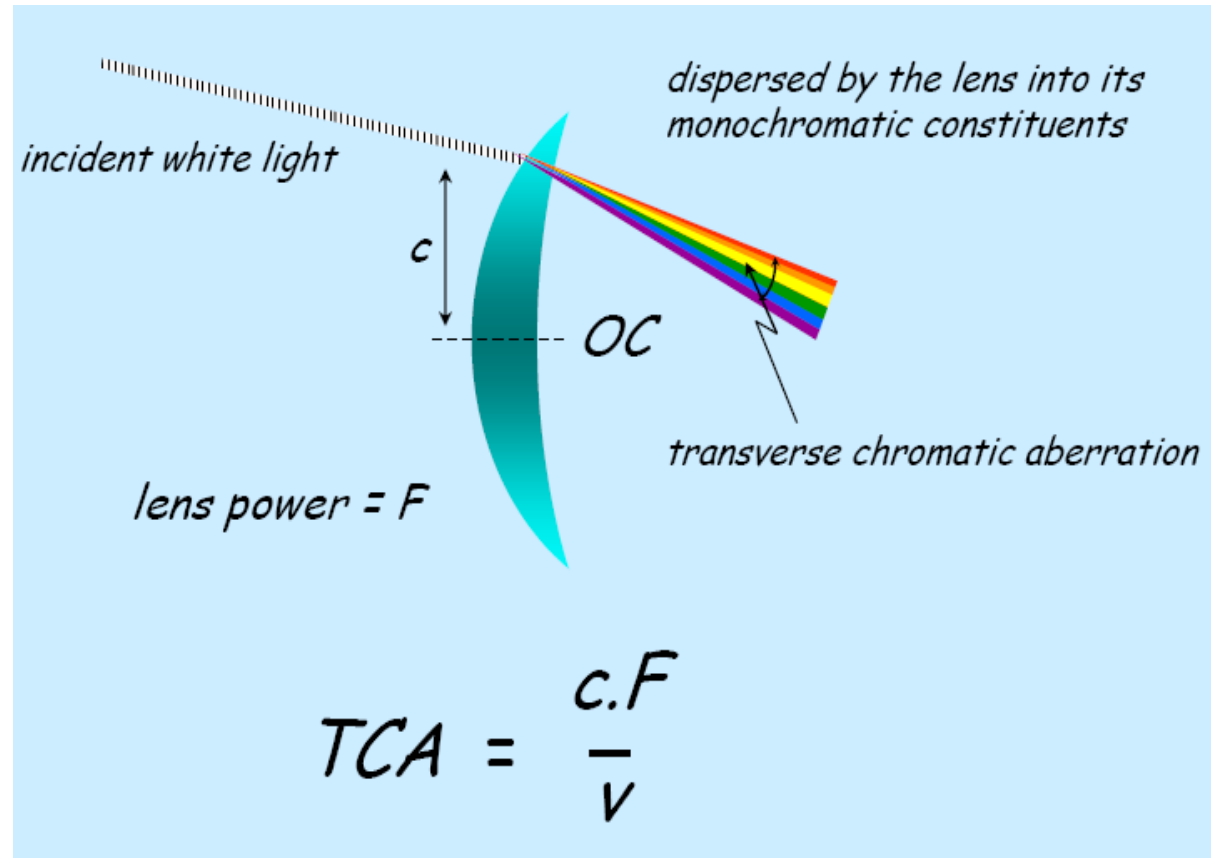
Designation	Element	Wavelength (nm)	Designation	Element	Wavelength (nm)
y	O ₂	898.765	c	Fe	495.761
Z	O ₂	822.696	F	H β	486.134
A	O ₂	759.370	d	Fe	466.814
B	O ₂	686.719	e	Fe	438.355
C	H α	656.281	G'	H γ	434.047
a	O ₂	627.661	G	Fe	430.790
D ₁	Na	589.592	G	Ca	430.774
D ₂	Na	588.995	h	H δ	410.175
D ₃ or d	He	587.5618	H	Ca ⁺	396.847
e	Hg	546.073	K	Ca ⁺	393.368
E ₂	Fe	527.039	L	Fe	382.044
b ₁	Mg	518.362	N	Fe	358.121
b ₂	Mg	517.270	P	Ti ⁺	336.112
b ₃	Fe	516.891	T	Fe	302.108
b ₄	Fe	516.891	t	Ni	299.444
b ₄	Mg	516.733			

Optické vlastnosti materiálů brýlových čoček

důležité parametry:

- index lomu
- **Abbeovo číslo**
- hustota
- UV mezní bod
- curve variation factor (CVF)
- odrazivost

$$V = \frac{n_D - 1}{n_F - n_C}$$

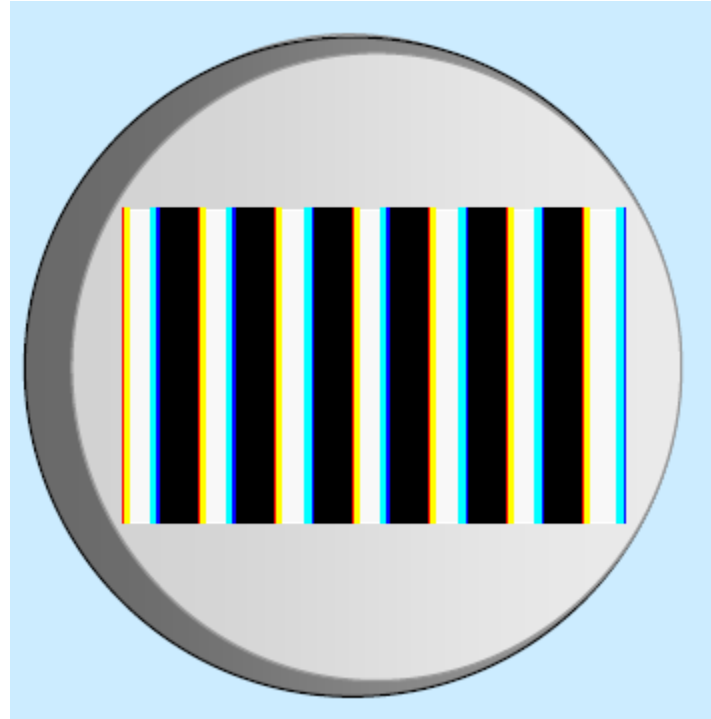


Optické vlastnosti materiálů brýlových čoček

důležité parametry:

- index lomu
- **Abbeovo číslo**
- hustota
- UV mezní bod
- curve variation factor (CVF)
- odrazivost

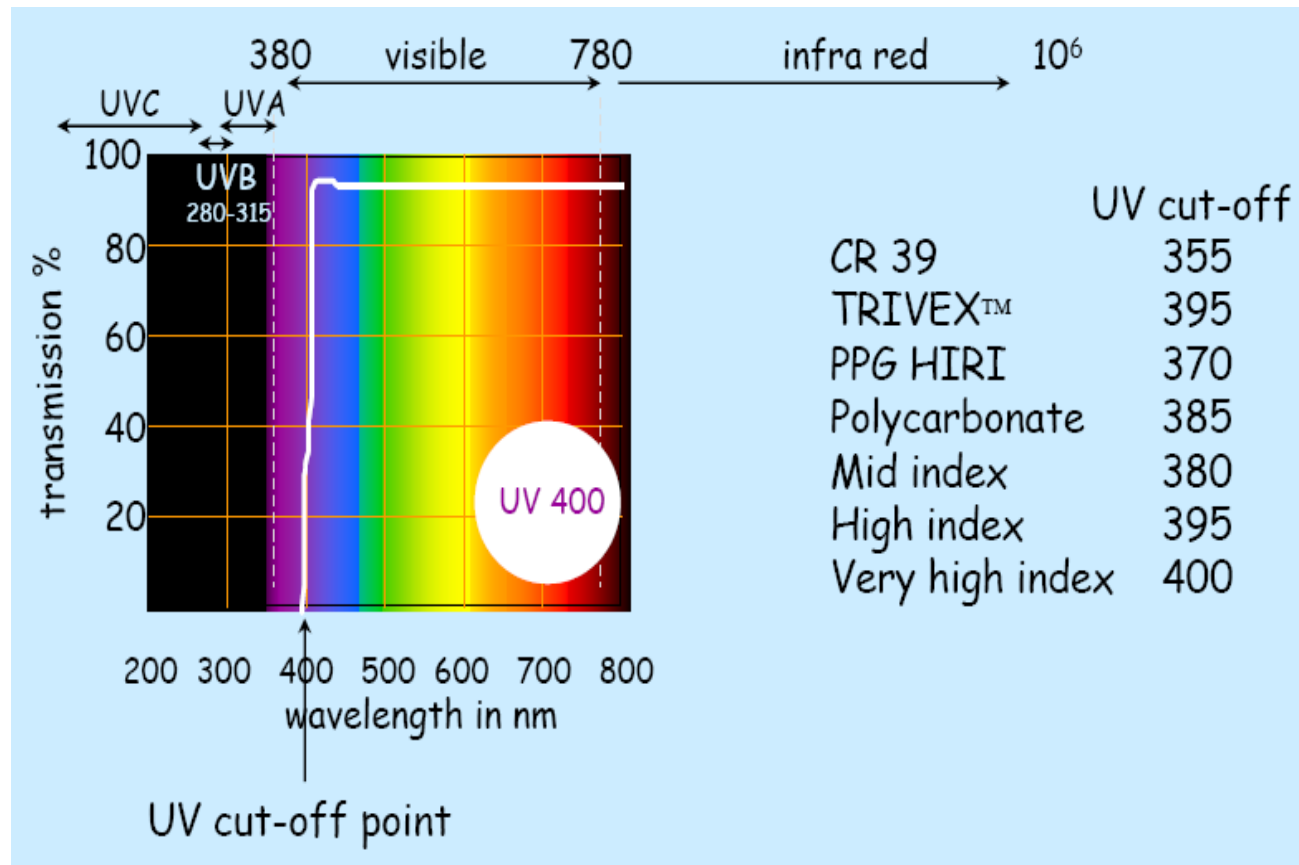
$$V = \frac{n_D - 1}{n_F - n_C}$$



Optické vlastnosti materiálů brýlových čoček

důležité parametry:

- index lomu
- Abbeovo číslo
- hustota
- **UV mezní bod**
- curve variation factor (CVF)
- odrazivost



Optické vlastnosti materiálů brýlových čoček

důležité parametry:

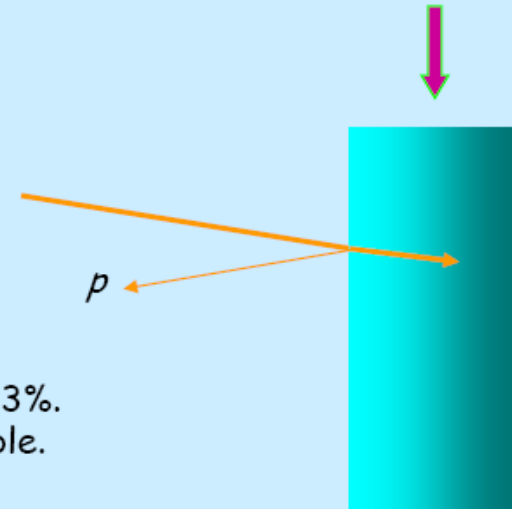
- index lomu
- Abbeovo číslo
- hustota
- UV mezní bod
- CVF
- **odrazivost** (kolmý dopad)

Glass type	index	CVF	Abbe No	density	reflectance	T%
crown	1.525	1.0	59	2.5	4.3%	91.6
mid-index	1.604	0.87	42	2.6	5.4%	89.5
high index	1.705	0.75	42	3.2	6.8%	86.9
very high index	1.807	0.65	35	3.7	8.3%	84.2
very high index	1.892	0.59	31	4.0	9.5%	81.9

Fresnel's fraction.

$$p = \left[\frac{n - 1}{n + 1} \right]^2 \times 100\%$$

For $n = 1.525$, the fraction turns out to be 4.3%.
Values for other indices are given in the table.



Optické vlastnosti materiálů brýlových čoček

důležité parametry:

- index lomu
- Abbeovo číslo

- hustota
- UV mezní bod
- **curve variation factor (CVF)**
- odrazivost

$$CVF = \frac{(n_{\text{base}} - 1)}{(n_{\text{mat}} - 1)}$$

n_{base} is the refractive index of the base material

n_{mat} is the refractive index of the material being compared

vystihuje odchylku objemu a tloušťky ve srovnání s korunovým sklem, např.

1,0 ... plný objem

0,75 ... o 25 % menší objem